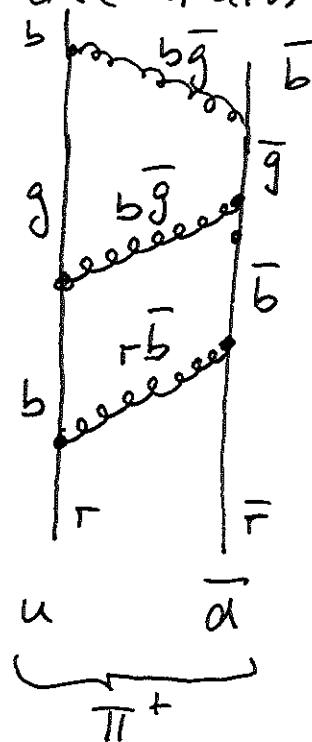


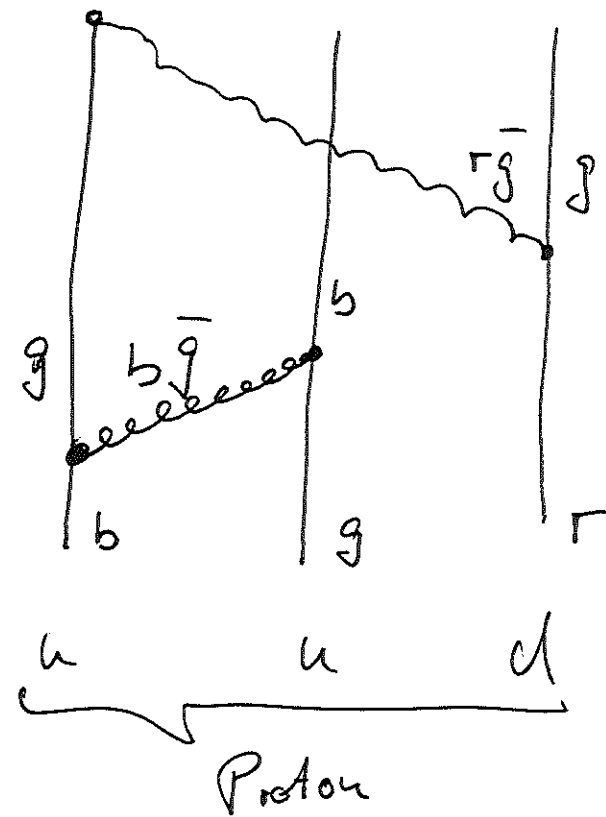
Für Reson ($\text{Bsp. } \pi^+$) gibt es drei mögliche Farbkombinationen: ①

$$|\pi^+\rangle = \left\{ \begin{array}{l} |u\bar{d}\rangle \\ |u\bar{s}\bar{d}\rangle \\ |u\bar{s}\bar{d}\bar{g}\rangle \end{array} \right.$$

Physikalische π^+ ist nicht dieser Zustand. Durch starke Gluon austausch ändert sich die Farbkombination



Bsp. Proton



Konsequenz d. Farbleadung (keine $|qq\rangle$ oder $|q\bar{q}\rangle$ Zustände, da diese nicht farbenneutral wären.) (2)

Starke Kopplungskonstante α_s (Urelektroneg.)

QFT: Kopplungs konstante abhängig von Q^2

EN WW: abhängig gering

st. WW: starke Abhängigkeit, Gluone tragen und selbst WW

$$\alpha_s(Q^2) = \frac{12\pi}{(33 - 2n_f) \cdot \ln(Q^2/\Lambda^2)}$$

n_f : Zahl d. beteiligten Quarks

schwere Quarks tragen nur bei großen Q^2 bei

$$\Rightarrow n_f = 3-6$$

Λ : freier Parameter der QCD wird aus exp. Daten bestimmt $\Lambda \approx 250 \text{ MeV}/c^2$

Störungsrechnung in QCD nur möglich wenn $\alpha_s \ll 1 \Rightarrow$

$$Q^2 \gg \Lambda^2 \approx 0,06 \left(\frac{\text{GeV}}{c}\right)^2$$

(3)

für große Q^2 (kleine Abstände) wird Kopplung
der Quarks untereinander kleiner und verschwindet
asymptotisch

$Q^2 \rightarrow \infty$ „frei“ („asymptotische Sicherheit“)

$Q^2 \rightarrow 0$ (große Abstände) : Confined

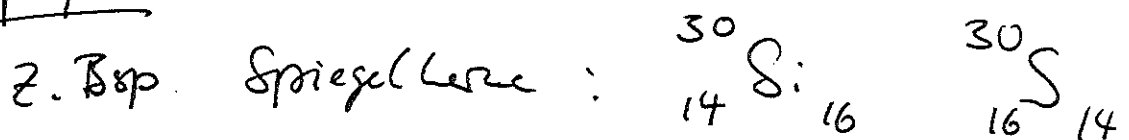
(Einschub Isospin)

$$Q/e = \frac{1}{2} + J_3$$

$$\text{Proton} : J_3 = +\frac{1}{2}$$

$$\text{Neutron} : J_3 = -\frac{1}{2}$$

Konsequenz Kernphysik :



Quark :

$$\text{Proton} : u \uparrow d$$

$$\text{Neutron} : u \downarrow d d$$

„Zufällige“ Gleichheit von u- und d-quarks
ist Ursache d. Isospinsymmetrie

(4)

Bsp:

$$\begin{array}{ll} \pi^+ = u\bar{d} & J_3 = +1 \\ \pi^- = d\bar{u} & J_3 = -1 \\ \pi^0 = \frac{1}{\sqrt{2}}(d\bar{d} - u\bar{u}) & J_3 = 0 \end{array}$$

Pion Masses: $m_{\pi^+} = 140 \text{ MeV}$

$m_{\pi^0} = 135 \text{ MeV}$

$\Rightarrow J=1$ Multiplett mit $J=+1, -1, 0$

Leicht Quarks

	J	J_3
u	$1/2$	$+1/2$
d	$1/2$	$-1/2$
s	0	0
\bar{u}	$1/2$	$-1/2$
\bar{d}	$1/2$	$+1/2$
\bar{s}	0	0

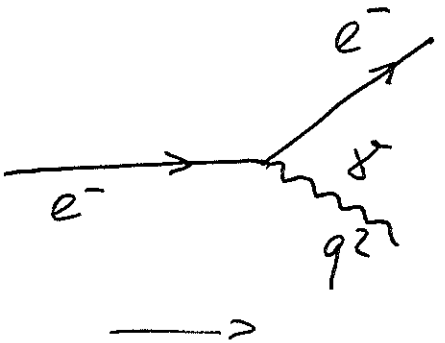
Isospin Symmetrie
trifft auf alle
Baryonen und Resonanzen,
die unter Austausch
von $u \leftrightarrow d$ Quarks
zu einander transformieren.

$e^+ - e^-$ Colliderphysik

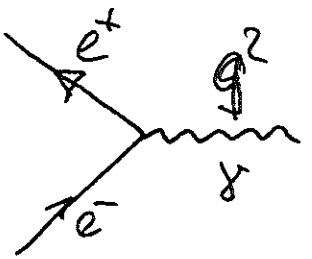
5
Teilchenerzeugung in $e^- e^+$
Kollisionen

(Quark/Flavor, Farben, Gluon, ψ^\pm, τ , Leptone)

in DIS



"high-resol." Proton lösen und in hochenerg. $e^+ e^-$ -Kollision erzeugt werden:



$e^+ e^-$ -Annihilation ist "powerful"
, "sauber" Prozess, da in An-
fallszahl Hadrone, die aus
Leptonen aufgebaut sind

(aus Povk)

118 9. Teilchenerzeugung in e^+e^- -Kollisionen

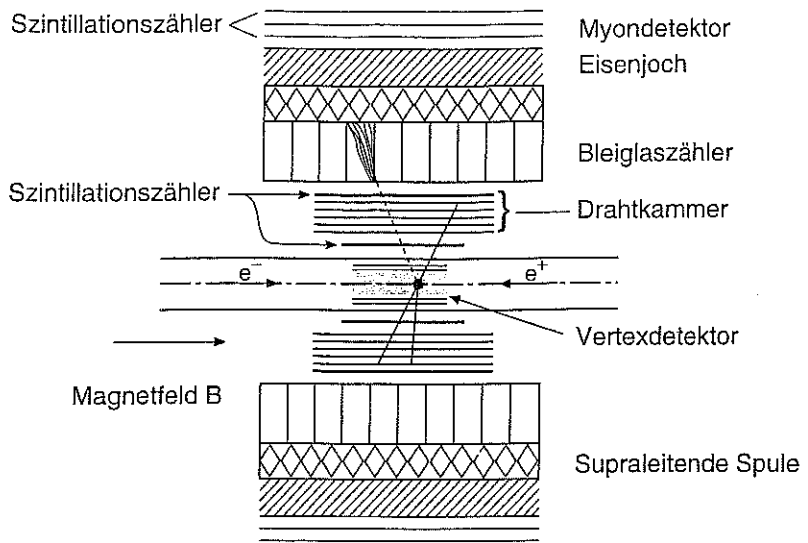
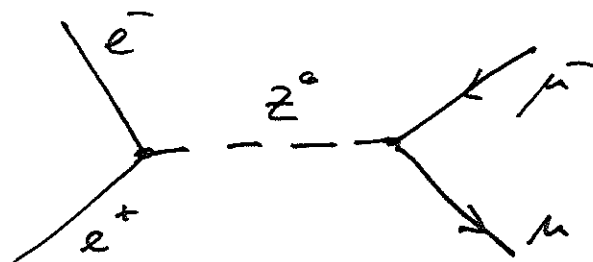
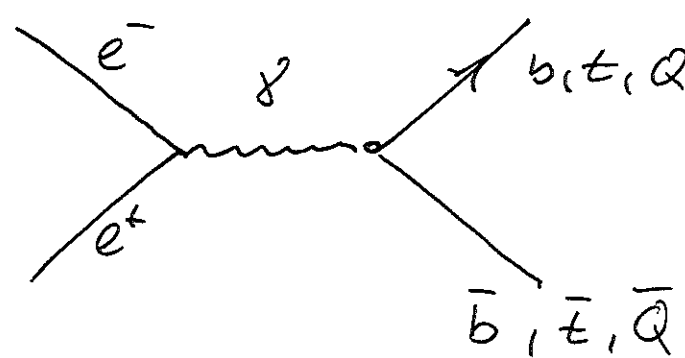
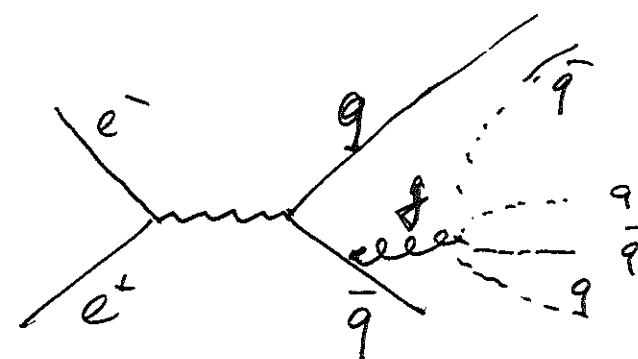
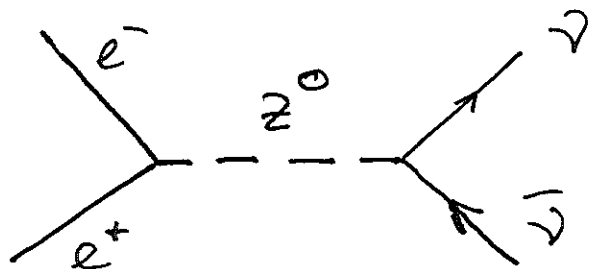
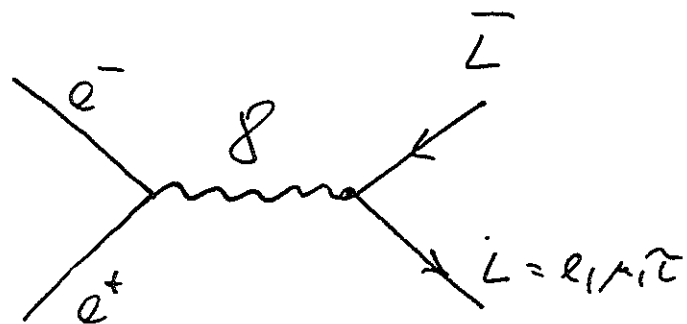
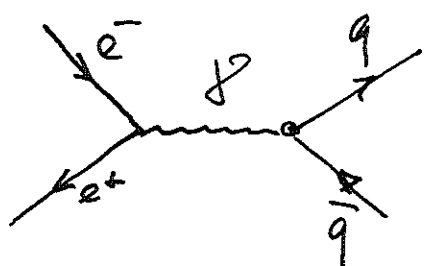
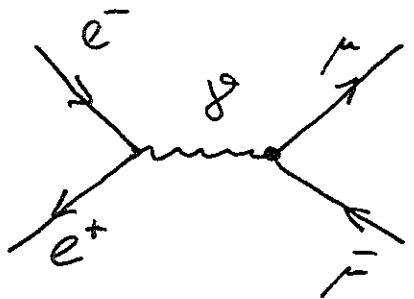


Abb. 9.1. Prinzipskizze eines 4π -Detektors, wie er in e^+e^- -Kollisionsexperimenten verwendet wird. Der Detektor ist eingebettet in eine Solenoidspule, die ein Magnetfeld von typischerweise 1 T entlang der Strahlrichtung erzeugt. Geladene Teilchen werden in einem Vertexdetektor, der häufig aus Silizium-Mikrostreifenzählern besteht, und Drahtkammern nachgewiesen. Der Vertexdetektor dient zur Bestimmung des Wechselwirkungspunktes. Aus der Krümmung der Spuren im Magnetfeld wird der Impuls bestimmt. Photonen und Elektronen werden im elektromagnetischen Kalorimeter, z. B. Bleiglas, durch Schauerbildung nachgewiesen. Myonen durchdringen den gesamten Detektor und werden in den äußeren Szintillatoren nachgewiesen.

(6)

Zusammensetze für exp. Möglichkeiten in e^+e^- -Annihilation



Kollidierende Fraktionen

(7)

(symm.) Collider LEP

$$\vec{P}_{e^-} = -\vec{P}_{e^+} \quad (\vec{P}_{\text{ges}} = 0)$$

\Rightarrow Laborsystem ist identisch mit Schwerpunktssystem (CNS)

$\mp\sqrt{S}$ (die Energie ist die Invariante Rasse \sqrt{S} reicht)

$$\sqrt{S} = \sqrt{(\sum p_i)^2} \quad S = (p_1 + p_2)^2$$

$$p_1 = (E, \vec{p}_c)$$

$$p_2 = (E, -\vec{p}_c) \quad \Rightarrow \quad S = 4E^2$$

$$\sqrt{S} = 2E$$

Vgl.: et auf ruhendes Target

$$p_1 = (E, \vec{p}_c)$$

$$p_2 = (mc, 0)$$

$$\left. \begin{array}{l} \\ \end{array} \right\} \quad S = 2Emc^2 + 2m^2c^4$$

$$\Rightarrow \sqrt{S} \propto \sqrt{E}$$

Schwerpunktsergie in Collider $\propto E$

neue

ruhendes Target $\propto \sqrt{E}$

Um Teilchen zu finden, erhöht man die Speichery-Energie und sucht nach Anwachsen der Reaktionsraten (bzw. Resonanzen)

Leptonische Kanäle

(Leptons $\text{spin-}\frac{1}{2}$)

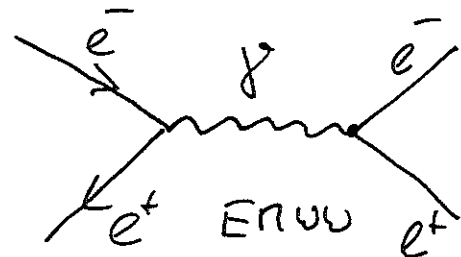
(8)

unverborgene schw. WW und
für die geladenen Leptone
el. neg. WW

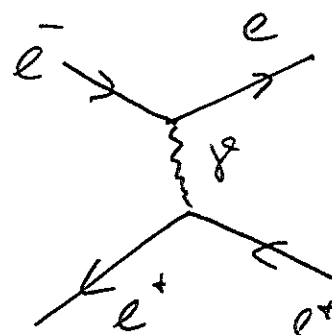
$$\left(\begin{matrix} e \\ \nu_e \end{matrix} \right) \left(\begin{matrix} \mu \\ \nu_\mu \end{matrix} \right) \left(\begin{matrix} \tau \\ \nu_\tau \end{matrix} \right)$$

Bhabha-Streuung

$$e^+ + e^- \rightarrow e^+ + e^- \quad (\text{"Bhabha-Streuung"})$$



+



Endzustände
sind identisch
 \Rightarrow Amplitude
addiert in VQ

μ -Produktion

$$e^+ + e^- \rightarrow \mu^+ + \bar{\mu}^- \quad , \quad n_{\mu^\pm}^{(1)} = 105,7 \text{ Rev/c}^2$$

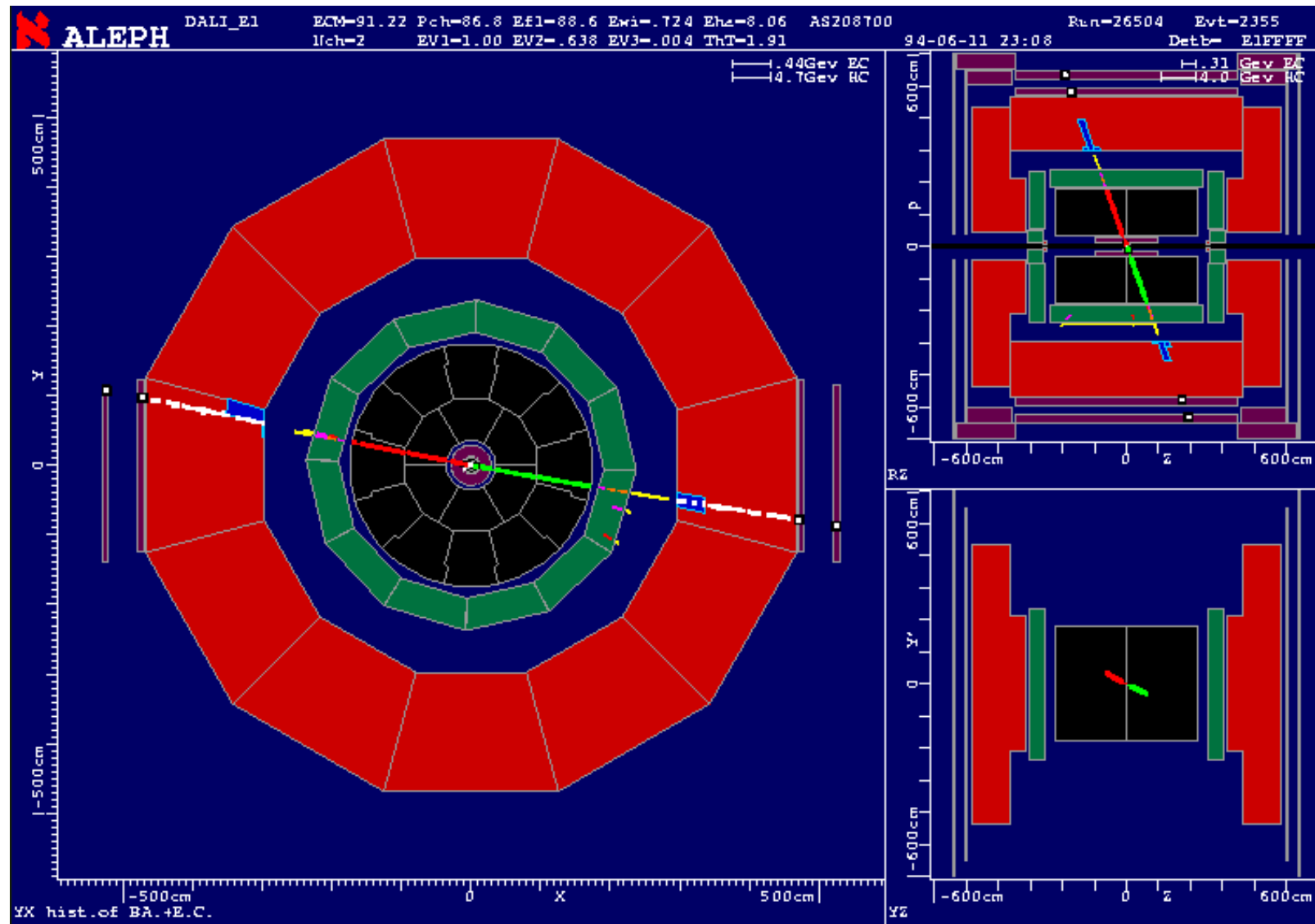
$$\Rightarrow \sqrt{s} \geq 210 \text{ Rev}$$

$$\tau_\mu = 2,2 \mu\text{sec} \quad (\text{Bild Alpha})$$

$$\text{Zerfälle } \mu^- \rightarrow e^- \bar{\nu}_e \frac{\nu_\mu}{\bar{\nu}_\mu}$$

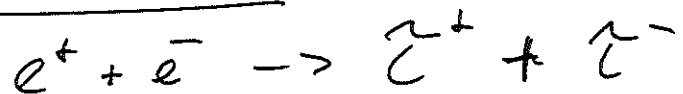
$$\mu^+ \rightarrow e^+ \bar{\nu}_e \frac{\nu_\mu}{\bar{\nu}_\mu}$$

Di-Muon event in e+ e- collision (LEP)



(9)

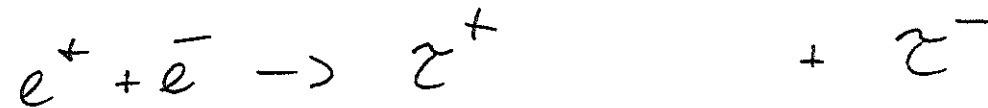
$\tilde{\chi}$ -Produktion



mit $\gamma_{\text{res}} = \frac{1784 \text{ Relv}}{\sqrt{s}} \Rightarrow \sqrt{s} \geq 2568 \text{ Relv}$

Lebensdauer $\tilde{\chi} \approx 3 \cdot 10^{-13} \text{ sec}$

Evidence (SLAC 1975)

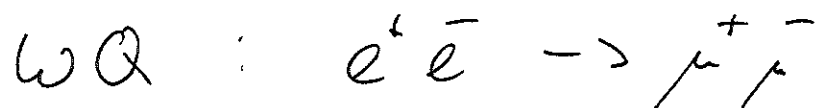


$$\xrightarrow{\text{ab}} e^+ + \gamma_e \bar{\nu}_e$$

$$\xrightarrow{\text{ab}} \bar{e}^- + \bar{\gamma}_e + \bar{\nu}_e$$

Resonanz von $E = E_e + E_\mu \ll \sqrt{s}$

Restenergie von γ 's weg gelagert



Fermi's golden Regel

$$\omega = \frac{2\pi}{\tau} |M_{fi}|^2 s_f$$

$$R_{fi} \propto \frac{e^2}{q^2 + m^2} = \frac{4\pi \alpha}{q^2}$$

$\overset{\circ}{O}(\text{En b.c.})$

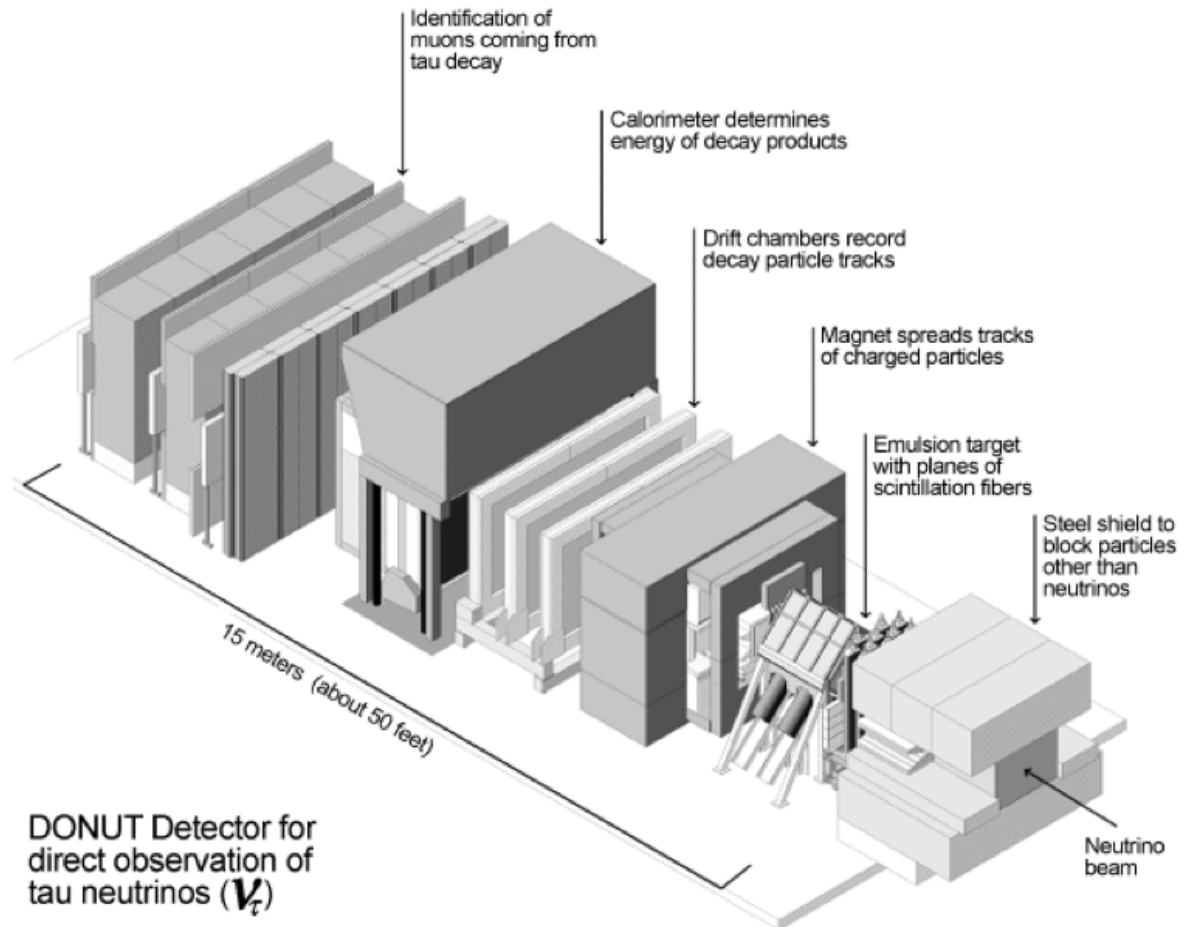
zusätzliche Dichte

$$1/\alpha = \frac{e^2}{4\pi c_0 \epsilon_0}$$

Not a collider experiment!

Direct detection of the tau particle with the DONUT detector at Fermilab

DONUT Detector



Donut (2000): first direct tau detection with nuclear emulsion technique

